



식(1)에서 나타낸 F의 H X W개의 데이터점 이외의 임의의 1<X<H, 1<Y<W로 되는 sampling point(x<sub>i</sub>, y<sub>i</sub>) 농도값 f(x<sub>i</sub>, y<sub>i</sub>)를 얻을수 있다.

(x<sub>i</sub>, y<sub>i</sub>)의 주위의 4개의 데이터점은 K=[x<sub>i</sub>], L=[y<sub>i</sub>]로 하고, 여기서 [ ]기호는 가우스 삼불이다.

각 점의 농도값은 식(1)에 의해서 다음과 같이 된다.

$$\begin{aligned} Z &= f(k_i, l_i) \\ Z &= f(k_i, l_{i+1}) \\ Z &= f(k_{i+1}, l_i) \\ Z &= f(k_{i+1}, l_{i+1}) \end{aligned}$$

가 된다.

이들 4개의 데이터점을 지나는 최저차의 곡면방정식으로 부터 sampling point에 있어서의 Z의 값을 식(3)과 같이 보간 근사한다.

$$f(x_i, y_i) = C_0 x_i y_i + C_1 x_i + C_2 y_i + C_3 \dots (3)$$

여기서 구해진 f(x, y)의 값은  $\theta$  또는 1의 정수를 말하고 합쳐 e (0<e<1)에 의해 2차화 한다.

### III. 패턴의 정규화

화상 f(x,y)의 (p+q)차 moment는

$$M_{pq} = \sum_x \sum_y X^p Y^q f(x,y) \dots (4)$$

0차 moment M<sub>00</sub>는 단순히 화상농도 f(x,y)의 총 합이다.

2차 화상에서 f(x,y)는 0 또는 1 이므로 M<sub>00</sub>는

화상의 면적이 된다.

화상의 중심(重心)의 좌표 (X<sub>g</sub>, Y<sub>g</sub>)는

$$X_g = \frac{M_{10}}{M_{00}} \dots (5)$$

$$Y_g = \frac{M_{01}}{M_{00}}$$

Central Moment 는 다음식으로 주어진다.

$$M_{pq} = \sum_x \sum_y (X-X_g)^p (Y-Y_g)^q f(x,y) \dots (6)$$

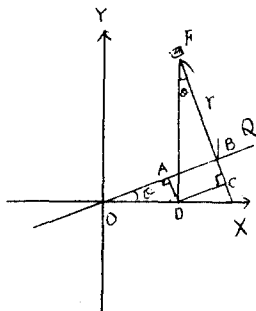


Fig.2 Principal axes of Inertial

그림 2에서 점 O를 지나는 X축과 O로 되는 각을 만드는 OQ축의 관성 Moment M<sub>0</sub>는

$$M_0 = \int \int f(x,y) r^2 dx dy \dots (7)$$

단  $r = y \cos \theta - x \sin \theta$

여기서 M<sub>0</sub>를 최소로 하는 각 $\theta$ 는

$$\theta = 1/2 \tan^{-1} \frac{2M_{11}}{M_{00} - M_{02}} \pm \frac{\pi}{2} \dots (8)$$

따라서 Pattern P의 Moment Matrix M은

$$M = \begin{bmatrix} M_{00} & M_{11} \\ M_{11} & M_{02} \end{bmatrix}$$

Pattern P가 Matrix A를 갖는 선형 Mapping 과정에서 새로운 Pattern P\*로 변환되었다면 P\* Pattern의 Moment Matrix 를 M\*라 하면

$$A M A^T = M^* \dots (9)$$

$$M^* = \begin{bmatrix} K & 0 \\ 0 & K \end{bmatrix}$$

정규화 이전의 Pattern f(x,y)가 좌표변환을 이용하여 Pattern g(x',y')로 변환되기를 원한다.

관성의 주축 OQ가 X축과 이루는 각이 45 일때 관성의 주축 기울기 B는 이고, M<sub>00</sub> = M<sub>02</sub>이다.

따라서 무회전 Transform 이며 일정크기의 변환만 하면된다.

$$\begin{aligned} X &= a_{11} x' \\ Y &= a_{22} y' \end{aligned} \dots (10)$$

관성의 주축 OQ가 X축과 이루는 각  $\theta' - 45 < \theta' < +45$  일때 관성의 주축 기울기 |B| < 1이다.

$$\begin{aligned} X &= a_{11} x' + a_{12} y' \\ Y &= a_{22} y' \end{aligned} \dots (11)$$

관성의 주축 OQ가 X축과 이루는 각  $\theta' - 90 < \theta'$  또는  $45 < \theta' < 90$  일때 주축 기울기 |B| > 1이다.

$$\begin{aligned} X &= a_{11} x' \\ Y &= a_{12} x' + a_{22} y' \end{aligned} \dots (12)$$

### IV. 실험 및 고찰

실험은 64 X 64로 입력된 데이터를 사용하여 시뮬레이션 하였으며, 실험문제는 의도적으로 기울어지게 만들어진 데이터를 이용하여 정규화전의 Pattern과 정규화후의 Pattern 을 비교하였다.

나타난 현상 자체는 변형이 있으나 정규화 이전의 Pattern 에 대한 주변분포 특징과 정규화후의 Pattern에 대한 주변분포 특징을 비교하면 기울어진 Pattern의 변형에 대해 많은 보정이 이루어졌다.

IV. 결론

본 논문에서는 64 X 64 2차 화상을 32 X 32 크기의 2차 화상으로 2변수 보편법에 의해 보간시킨후 Pattern의 관성주축 Y' 또는 X'를 구하여 관성주축 0 의 값에 따라 선형변환 Matrix A를 변경시켜 Transform 시킨결과 변형된 Pattern이 일양하게 형성되었다.

이 방식은 필자의 습성에 따라 변형이 심한 필기체 문자 인식을 위한 정규화 과정에 사용할수 있다.

1. Casey, R.G "Moment normalization of Hand printed characters", IBM J.RES. Develop pp.548-557, 10,1970
2. Mitsuru Shiono "Recognition Hand printed charaters by Directional Matching Method", 信學論(D), vol. J60-D, No12, pp.402-409, 12,1970
3. Mitsuru Shiono, "A Method of size transformation and shape Adjustment for Dotted KANJI Patterns", 信學論(D), vol.J63-D, No.7, pp.558-564, 7,80
4. Michio Yasuda, "An Improvement of Correlaltion Method for Character Recognition", 信學論(D), vol.J62-D, pp.217-224, 3,79.